

EFFICACITÉ ÉNERGÉTIQUE



PERFORMANCE

Caractéristiques principales et cotes comparatives
MOTEURS TRIPHASÉS

Édition 1

SEW
USOCOME

Nouvelle génération de moteurs triphasés DR2 - DRN

Renforcer la sécurité, améliorer la qualité de nos produits, optimiser leur efficacité énergétique, mais aussi anticiper, tels sont les maîtres-mots de la philosophie SEW USOCOME.

Dans cette logique notre nouvelle gamme de moteurs triphasé DR2- DRN répond d'ores et déjà au nouveau règlement européen UE 1781/2019 entrant en vigueur le 1^{er} juillet 2021.

Dans le détail : la nouvelle réglementation rend la classe d'efficacité IE2 obligatoire pour les puissances comprises entre 0,12 et 0,55 kW et la classe d'efficacité IE3 obligatoire pour les puissances comprises entre 0,75 et 1000 kW.

Après le 1^{er} juillet 2021, la fourniture de moteurs ne remplissant pas ces conditions n'est autorisée que pour les réparations. Cependant, nous garantissons la disponibilité des pièces détachées pendant 10 ans.

Toujours à vos côtés, nous vous accompagnons dans ce changement via ce document reprenant les caractéristiques principales et cotes comparatives des moteurs SEW. Il vous permet, très rapidement, de comparer les principales caractéristiques des moteurs en fonction de la gamme et de disposer des cotes indispensables pour déterminer le bon produit.

NOS PLUS PRODUITS

- **Une solution pérenne** répondant à toutes les normes en vigueur
- **Une haute efficacité énergétique**, y compris pour les faibles puissances assurant un retour sur investissement rapide
- **Une gamme unique** incluant tous les accessoires pour un moteur adapté à la communication numérique
- **80 Drive Technology Center dans le monde entier** pour vous assurer un service en continu



Légende

XXXXXXX	Arrêt de la commercialisation au 30 juin 2021 au plus tard
XXXXXXX	Utilisable sous réserve de prescriptions de rendement du pays d'utilisation
XXXXXXX	Nouvelle génération de moteurs

CARACTÉRISTIQUES PRINCIPALES ET COTES COMPARATIVES

0,09 kW

4 PÔLES

Codification	Efficacité	n _N	η 100 %	I _N	I _A /I _N	Inertie	LB	LBS	AC	H
DT56M4	—	1300	59,3	0,295	2,6	1,1	136	172	109	56
DR2S56MR4	—	1380	54,8	0,35	3	1,31	136	172	109	56

6 PÔLES

Codification	Efficacité	n _N	η 100 %	I _N	I _A /I _N	Inertie	LB	LBS	AC	H
DFR63S6	—	900	50,5	0,38	2,2	5,4	186	242	132	63
DR2S63MQ6	IE1	920	46,5	0,36	2,9	6,4	199	255	125	63
DRN63MR6	IE3	920	55	0,36	2,9	6,4	199	255	125	63

0,12 kW

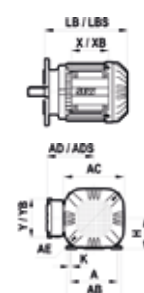
4 PÔLES

Codification	Efficacité	n _N	η 100 %	I _N	I _A /I _N	Inertie	LB	LBS	AC	H
DT56L4	—	1300	54,8	0,42	2,6	1,1	136	172	109	56
DR2S56M4	IE1	1290	53,3	0,39	2,7	1,31	136	172	109	56
DFR63S4	—	1380	63,8	0,39	3,3	3,6	186	242	132	63
DR2S63MSR4	IE1	1380	61,9	0,405	3,6	2,95	185	241	125	63
DRN63MS4	IE3	1380	64,8	0,405	3,6	2,95	185	241	125	63

6 PÔLES

Codification	Efficacité	n _N	η 100 %	I _N	I _A /I _N	Inertie	LB	LBS	AC	H
DFR63M6	—	900	46,2	0,57	2,1	5,4	186	242	132	63
DR2S63MR6	IE1	870	54,1	0,405	2,6	6,4	199	255	125	63
DRN63M6	IE3	870	57,7	0,405	2,6	6,4	199	255	125	63

Abrégré	Unité	Libellé
n _N	tr/min	Vitesse en tours/minute
η 100 %	%	Rendement en pourcentage
I _N	A	Courant nominal en ampères
I _A /I _N		Rapport du courant de démarrage
Inertie	10-4 kgm ²	Moment d'inertie du rotor
LB	mm	Longueur de la surface d'appui du flasque jusqu'à l'extrémité du capot de ventilateur (moteur)
LBS	mm	Longueur de la surface d'appui du flasque jusqu'à l'extrémité du capot de ventilateur (moteur frein)
AC	mm	Cote extérieure du capot de ventilateur
H	mm	Distance entre mi-bout d'arbre et surface d'appui des pattes (hauteur d'axe)



CARACTÉRISTIQUES PRINCIPALES ET COTES COMPARATIVES

0,18 kW

2 PÔLES

Codification	Efficacité	n _n	η 100 %	I _n	I _a /I _n	Inertie	LB	LBS	AC	H
DFR63S2	—	2720	-	0,45	4,2	3,6	186	242	132	63
DR2S63MSR2	IE1	2725	60,7	0,465	4,2	2,95	185	241	125	63
DRN63MS2	IE3	2725	65,9	0,465	4,2	2,95	185	241	125	63

4 PÔLES

Codification	Efficacité	n _n	η 100 %	I _n	I _a /I _n	Inertie	LB	LBS	AC	H
DFR63M4	—	1320	62,4	0,55	2,9	3,6	186	242	132	63
DR2S63MS4	IE1	1330	57	0,59	2,9	2,95	185	241	125	63
DRN63M4	IE3	1375	69,9	0,57	3,7	3,69	199	255	125	63

6 PÔLES

Codification	Efficacité	n _n	η 100 %	I _n	I _a /I _n	Inertie	LB	LBS	AC	H
DFR63L6	—	870	51,7	0,78	2,2	5,4	186	242	132	63
DR2S63M6	IE1	855	49,1	0,66	2,5	6,4	199	255	125	63
DRN71MS6	IE3	915	63,9	0,55	3,4	8,1	202	269	139	71

0,25 kW

2 PÔLES

Codification	Efficacité	n _n	η 100 %	I _n	I _a /I _n	Inertie	LB	LBS	AC	H
DFR63M2	—	2660	—	0,65	3,5	3,6	186	242	132	63
DR2S63MS2	IE1	2610	62,3	0,67	3,3	2,88	185	241	125	63
DRN63M2	IE3	2755	69,7	0,57	4,9	3,69	199	255	125	63

4 PÔLES

Codification	Efficacité	n _n	η 100 %	I _n	I _a /I _n	Inertie	LB	LBS	AC	H
DFR63L4	—	1300	66,1	0,68	2,8	4,4	186	242	132	63
DR2S63M4	IE1	1330	61,5	0,78	3,4	3,69	199	255	125	63
DRN71MS4	IE3	1405	73,5	0,72	4,3	5,23	202	269	139	71

Légende

XXXXXXX

Arrêt de la commercialisation au 30 juin 2021 au plus tard

XXXXXXX

Utilisable sous réserve de prescriptions de rendement du pays d'utilisation

XXXXXXX

Nouvelle génération de moteurs

6 PÔLES

Codification	Efficacité	n_n	η 100 %	I_n	I_a/I_n	Inertie	LB	LBS	AC	H
DRS71S6	IE1	895	62,2	0,83	2,7	8,1	198	266	139	71
DT71D6	EFF1	880	-	0,85	2,7	8,3	202	266	145	71
DR2S71MS6	IE1	895	64,9	0,78	3	8,1	202	269	139	71
DRN71M6	IE3	915	68,6	0,76	3,4	10,22	222	289	139	71

0,37 kW

2 PÔLES

Codification	Efficacité	n_n	η 100 %	I_n	I_a/I_n	Inertie	LB	LBS	AC	H
DFR63L2	—	2650	—	0,92	3,5	4,4	186	242	132	63
DR2S63M2	IE1	2655	65,1	0,94	4	3,69	199	255	125	63
DRN71MS2	IE3	2810	73,8	0,87	5,4	2,86	202	269	139	71

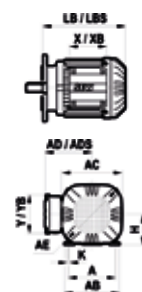
4 PÔLES

Codification	Efficacité	n_n	η 100 %	I_n	I_a/I_n	Inertie	LB	LBS	AC	H
DRS71S4	IE1	1380	66,6	1,14	3,5	4,9	198	266	139	71
DT71D4	EFF1	1380	65,5	1,15	3	4,6	202	266	145	71
DR2S71MS4	IE1	1350	66	1,05	3,5	5,23	202	269	139	71
DRN71M4	IE3	1415	77,3	1,02	4,8	6,95	222	289	139	71

6 PÔLES

Codification	Efficacité	n_n	η 100 %	I_n	I_a/I_n	Inertie	LB	LBS	AC	H
DRS71M6	IE1	905	66,5	1,13	3,1	11,7	223	291	139	80
DT80K6	EFF1	900	—	1,29	3	10,3	252	316	145	80
DR2S71M6	IE1	885	60	1,18	2,9	10,22	222	289	139	80
DRN80MK6	IE3	935	73,5	1,05	4,1	16,09	241	322	156	80

Abrégré	Unité	Libellé
n_n	tr / min	Vitesse en tours/minute
η 100 %	%	Rendement en pourcentage
I_n	A	Courant nominal en ampères
I_a/I_n		Rapport du courant de démarrage
Inertie	$10 \text{--} 4 \text{ kg}^2$	Moment d'inertie du rotor
LB	mm	Longueur de la surface d'appui du flasque jusqu'à l'extrémité du capot de ventilateur (moteur)
LBS	mm	Longueur de la surface d'appui du flasque jusqu'à l'extrémité du capot de ventilateur (moteur frein)
AC	mm	Cote extérieure du capot de ventilateur
H	mm	Distance entre mi-bout d'arbre et surface d'appui des pattes (hauteur d'axe)



CARACTÉRISTIQUES PRINCIPALES ET COTES COMPARATIVES

0,55 kW

2 PÔLES

Codification	Efficacité	n _n	η 100 %	I _n	I _s /I _n	Inertie	LB	LBS	AC	H
DRS71M2	IE1	2810	72,9	1,37	4,9	7,1	223	291	139	80
DT71D2	EFF1	2700	—	1,65	3,2	4,6	202	266	145	71
DR2S71MR2	IE1	2825	74,4	1,24	5,9	3,64	222	289	139	80
DRN71M2	IE3	2825	77,8	1,24	5,9	3,64	222	289	139	71

4 PÔLES

Codification	Efficacité	n _n	η 100 %	I _n	I _s /I _n	Inertie	LB	LBS	AC	H
DRS71M4	IE1	1360	70,6	1,55	3,6	7,1	223	291	139	80
DT80K4	EFF1	1360	68,9	1,75	3,4	6,6	252	316	145	80
DR2S71M4	IE1	1360	70	1,52	4,1	6,95	222	289	139	80
DRN80MK4	IE3	1435	80,8	1,29	6,1	16,09	241	322	156	80

6 PÔLES

Codification	Efficacité	n _n	η 100 %	I _n	I _s /I _n	Inertie	LB	LBS	AC	H
DRS80S6	IE1	915	67,9	1,64	3,4	14,9	241	322	156	80
DT80N6	EFF1	900	—	1,7	3	14,1	252	316	145	80
DR2S80MK6	IE1	910	65,9	1,58	3,5	16,09	241	322	156	80
DRN90SR6	IE3	966	77,2	1,52	5,2	52,7	281	375	179	90

0,75 kW

2 PÔLES

Codification	Efficacité	n _n	η 100 %	I _n	I _s /I _n	Inertie	LB	LBS	AC	H
DRS80S2	IE1	2800	74,4	1,73	4,6	14,9	241	322	156	80
DT80K2	EFF1	2700	63	2	3,7	6,6	252	316	145	80
DR2S71M2	IE1	2760	72,9	1,78	4,7	3,64	222	289	139	80
DRE80M2	IE2	2890	79,2	1,54	7,9	21,4	272	353	156	80
DRN80MS2	IE3	2855	81,4	1,58	5,9	18,17	259	340	156	80

Légende

XXXXXX

Arrêt de la commercialisation au 30 juin 2021 au plus tard

XXXXXX

Utilisable sous réserve de prescriptions de rendement du pays d'utilisation

XXXXXX

Nouvelle génération de moteurs

4 PÔLES

Codification	Efficacité	n_n	η 100 %	I_n	I_a/I_n	Inertie	LB	LBS	AC	H
DRS80S4	IE1	1400	75,3	1,8	4,3	14,9	241	322	156	80
DT80N4	EFF1	1380	71,6	2,1	3,8	8,7	252	316	145	80
DR2S80MK4	IE1	1410	75,3	1,81	5,2	16,09	241	322	156	80
DRE80M4	IE2	1435	81	1,68	6,2	21,4	272	353	156	80
DRN80M4	IE3	1440	82,9	1,75	6,7	23,76	287	368	156	80

6 PÔLES

Codification	Efficacité	n_n	η 100 %	I_n	I_a/I_n	Inertie	LB	LBS	AC	H
DRS80M6	IE1	915	70,7	2,15	3,5	21,4	272	353	156	90
DT90S6	EFF1	900	66	2,35	3,1	25	273	342	197	90
DRE90L6	IE2	940	80	2,05	4,6	43,4	286	379	179	90
DRN90S6	IE3	957	78,9	2	4,8	52,7	281	375	179	90

1,1 kW

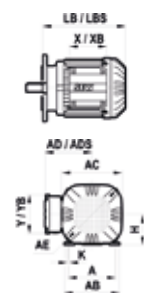
2 PÔLES

Codification	Efficacité	n_n	η 100 %	I_n	I_a/I_n	Inertie	LB	LBS	AC	H
DRS80M2	IE1	2840	76,5	2,35	6	21,4	272	353	156	90
DT80N2	EFF1	2700	72	2,65	4	8,7	252	316	145	80
DRE90M2	IE2	2870	81,2	2,2	7,2	35,4	266	359	179	90
DRN80M2	IE3	2860	83	2,2	6,6	23,76	287	368	156	80

4 PÔLES

Codification	Efficacité	n_n	η 100 %	I_n	I_a/I_n	Inertie	LB	LBS	AC	H
DRS80M4	IE1	1410	77	2,4	5,1	21,4	272	353	156	90
DT90S4	EFF1	1400	76,5	2,8	4,3	25	273	342	197	90
DRE90M4	IE2	1420	82,4	2,45	5,9	35,4	266	359	179	90
DR2S80M4	IE1	1415	78,9	2,45	5,5	23,76	287	368	156	80
DRN90S4	IE3	1455	84,5	2,55	6,9	52,68	281	375	179	90

Abrégré	Unité	Libellé
n_n	tr/min	Vitesse en tours/minute
η 100 %	%	Rendement en pourcentage
I_n	A	Courant nominal en ampères
I_a/I_n		Rapport du courant de démarrage
Inertie	10^{-4} kgm ²	Moment d'inertie du rotor
LB	mm	Longueur de la surface d'appui du flasque jusqu'à l'extrémité du capot de ventilateur (moteur)
LBS	mm	Longueur de la surface d'appui du flasque jusqu'à l'extrémité du capot de ventilateur (moteur frein)
AC	mm	Cote extérieure du capot de ventilateur
H	mm	Distance entre mi-bout d'arbre et surface d'appui des pattes (hauteur d'axe)



CARACTÉRISTIQUES PRINCIPALES ET COTES COMPARATIVES

6 PÔLES

Codification	Efficacité	n _n	η 100 %	I _n	I _s /I _n	Inertie	LB	LBS	AC	H
DRS90L6	IE1	930	75	3,1	4,2	43,4	286	379	179	100
DT90L6	EFF1	920	70	3,3	3,5	34	273	342	197	90
DRE100M6	IE2	940	78,7	3,1	4,7	55,6	316	409	197	100
DRN90L6	IE3	957	81	2,95	5	66,1	313	407	179	90

1,5 kW

2 PÔLES

Codification	Efficacité	n _n	η 100 %	I _n	I _s /I _n	Inertie	LB	LBS	AC	H
DRS90M2	IE1	2830	78,3	3,1	5,9	35,4	266	359	179	90
DT90S2	EFF1	2800	71	3,8	4,2	25	273	342	197	90
DRE90M2	IE2	2830	81,8	2,95	5,9	35,4	266	359	179	90
DR2S80M2	IE1	2820	77,2	3,3	5,1	23,76	287	368	156	80
DRN90S2	IE3	2886	84,2	3,1	6,5	52,68	281	375	179	90

4 PÔLES

Codification	Efficacité	n _n	η 100 %	I _n	I _s /I _n	Inertie	LB	LBS	AC	H
DRS90M4	IE1	1395	79,6	3,3	5	35,4	266	359	179	90
DT90L4	EFF1	1410	79,4	3,55	5,3	34	273	342	197	90
DRE90L4	IE2	1430	84	3,35	6,6	43,7	286	379	179	90
DRN90L4	IE3	1461	85,6	3,4	7,5	65,92	313	407	179	90

6 PÔLES

Codification	Efficacité	n _n	η 100 %	I _n	I _s /I _n	Inertie	LB	LBS	AC	H
DRS100M6	IE1	925	75,7	4,25	4,2	55,6	316	409	197	100
DV100M6	EFF1	920	76	4	4	53	311	396	197	100
DRE100L6	IE2	940	80,9	4	5	67,8	346	439	197	100
DRN100L6	IE3	961	82,5	4,1	4,7	110,28	359	452	197	100

Légende

XXXXXX
XXXXXX
XXXXXX

Arrêt de la commercialisation au 30 juin 2021 au plus tard
Utilisable sous réserve de prescriptions de rendement du pays d'utilisation
Nouvelle génération de moteurs

2,2 kW

2 PÔLES

Codification	Efficacité	n _N	η 100 %	I _N	I _A /I _N	Inertie	LB	LBS	AC	H
DRS90L2	IE1	2820	80,5	4,45	5,8	43,7	286	379	179	100
DT90L2	EFF1	2810	74	5,1	4,8	34	273	342	197	90
DRE100M2	IE2	2880	84,5	4,15	8,2	56	316	409	197	100
DRN90L2	IE3	2905	85,9	4,3	7,4	65,92	313	407	179	90

4 PÔLES

Codification	Efficacité	n _N	η 100 %	I _N	I _A /I _N	Inertie	LB	LBS	AC	H
DRS90L4	IE1	1400	81,1	4,85	5,1	43,7	286	379	179	100
DV100M4	EFF1	1410	82	4,7	5,9	53	311	396	197	100
DRE100M4	IE2	1425	85,4	4,6	6,4	56	316	409	197	100
DRN100LS4	IE3	1450	86,9	4,75	7,1	80,06	309	402	197	100

6 PÔLES

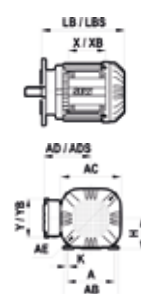
Codification	Efficacité	n _N	η 100 %	I _N	I _A /I _N	Inertie	LB	LBS	AC	H
DRS100LC6	IE1	955	80	5,5	5,1	88,2	346	439	197	112
DV112M6	EFF1	940	80	5,7	4,2	98	349	429	221	112
DRE112M6	IE2	955	83	5,2	5,5	145	352	464	221	112
DRN112M6	IE3	973	84,3	5,5	6,5	176,47	387	499	221	112

3 kW

2 PÔLES

Codification	Efficacité	n _N	η 100 %	I _N	I _A /I _N	Inertie	LB	LBS	AC	H
DRS100M2	IE1	2840	82,5	5,8	6,4	56	316	409	197	100
DV100M2	EFF1	2800	78,6	5,9	5	53	311	396	197	100
DRE100L2	IE2	2850	85,6	5,5	7,2	68,3	346	439	197	100
DRN100LM2	IE3	2894	87,2	5,8	8,7	89,33	359	452	197	100

Abrégré	Unité	Libellé
n _N	tr/min	Vitesse en tours/minute
η 100 %	%	Rendement en pourcentage
I _N	A	Courant nominal en ampères
I _A /I _N		Rapport du courant de démarrage
Inertie	10-4 kgm ²	Moment d'inertie du rotor
LB	mm	Longueur de la surface d'appui du flasque jusqu'à l'extrémité du capot de ventilateur (moteur)
LBS	mm	Longueur de la surface d'appui du flasque jusqu'à l'extrémité du capot de ventilateur (moteur frein)
AC	mm	Cote extérieure du capot de ventilateur
H	mm	Distance entre mi-bout d'arbre et surface d'appui des pattes (hauteur d'axe)



CARACTÉRISTIQUES PRINCIPALES ET COTES COMPARATIVES

4 PÔLES

Codification	Efficacité	n _n	η 100 %	I _n	I _a /I _n	Inertie	LB	LBS	AC	H
DRS100M4	IE1	1400	82,4	6,4	5,3	56	316	409	197	100
DV100L4	EFF1	1400	83,1	6,3	5,6	65	341	426	197	100
DRE100LC4	IE2	1455	86,3	6,2	7,5	89,8	346	439	197	100
DRN100L4	IE3	1456	87,8	6,4	8,2	110,28	359	452	197	100

6 PÔLES

Codification	Efficacité	n _n	η 100 %	I _n	I _a /I _n	Inertie	LB	LBS	AC	H
DRS112M6	IE1	945	81	7	5,1	145	352	464	221	112
DV132S6	EFF1	940	79,5	7,8	4,6	146	394	474	221	132
DRE132S6	IE2	955	84,4	6,8	5,5	188	387	499	221	112
DRN132S6	IE3	974	85,6	7,4	6,2	239,47	437	549	221	132

4 kW

2 PÔLES

Codification	Efficacité	n _n	η 100 %	I _n	I _a /I _n	Inertie	LB	LBS	AC	H
DRS100LC2	IE1	2900	84,2	7,8	7,7	89,8	346	439	197	112
DV112M2	EFF1	2860	82,4	8,1	5,6	98	349	429	221	112
DRE112M2	IE2	2900	86,5	7,5	6,3	113	352	464	221	112
DRN112M2	IE3	2948	88,1	7,5	10,6	176,47	387	499	221	112

4 PÔLES

Codification	Efficacité	n _n	η 100 %	I _n	I _a /I _n	Inertie	LB	LBS	AC	H
DRS100LC4	IE1	1445	83,5	8,4	6,5	89,8	346	439	197	112
DV112M4	EFF1	1420	84,2	8,7	5,4	98	349	429	221	112
DRE132S4	IE2	1460	87,4	8	8	190	387	499	221	112
DRN112M4	IE3	1464	88,7	7,9	8,2	176,47	387	499	221	112

6 PÔLES

Codification	Efficacité	n _n	η 100 %	I _n	I _a /I _n	Inertie	LB	LBS	AC	H
DRS132S6	IE1	940	81,7	9,8	4,3	188	387	499	221	132
DV132M6	EFF1	960	82,4	10	5,9	430	402	514	275	132
DRE132M6	IE2	960	85,4	9,5	6,1	250	437	549	221	132
DRN132S6	IE3	968	86,8	9,7	5,5	239,47	437	549	221	132

Légende

XXXXXXX Arrêt de la commercialisation au 30 juin 2021 au plus tard

XXXXXXX Utilisable sous réserve de prescriptions de rendement du pays d'utilisation

XXXXXXX Nouvelle génération de moteurs

5,5 kW

2 PÔLES

Codification	Efficacité	n_n	η 100 %	I_n	I_s/I_n	Inertie	LB	LBS	AC	H
DRS132S2	IE1	2890	85,5	10,2	6,5	146	387	499	221	132
DV132S2	EFF1	2880	85	10,5	6,6	146	394	474	221	132
DRE132S2	IE2	2890	87,4	10	6,5	146	387	499	221	112
DRN132S2	IE3	2935	89,2	9,4	10	239,47	437	549	221	132

4 PÔLES

Codification	Efficacité	n_n	η 100 %	I_n	I_s/I_n	Inertie	LB	LBS	AC	H
DRS132S4	IE1	1445	85,7	11,1	6,7	190	387	499	221	132
DV132S4	EFF1	1430	85,7	11	6	146	394	474	221	132
DRE132M4	IE2	1455	88,5	10,5	7,7	253	437	549	221	132
DRN132S4	IE3	1461	89,6	10,5	8,3	239,47	437	549	221	132

6 PÔLES

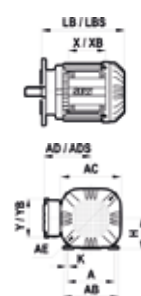
Codification	Efficacité	n_n	η 100 %	I_n	I_s/I_n	Inertie	LB	LBS	AC	H
DRS132MC6	IE1	970	85,5	12,2	5,8	337	437	549	221	132
DV132ML6	EFF1	960	86	12,9	5,7	524	462	574	275	160
DRE132MC6	IE2	970	86,9	12,1	5,8	337	437	549	221	132
DRN132L6	IE3	975	88	13,8	5,6	436,91	464	601	261	132

7,5 kW

2 PÔLES

Codification	Efficacité	n_n	η 100 %	I_n	I_s/I_n	Inertie	LB	LBS	AC	H
DRS132M2	IE1	2910	86,5	13,7	7,3	193	437	549	221	132
DV132M2	EFF1	2900	86	15,2	6,8	280	402	514	275	132
DRE132M2	IE2	2910	88,5	13,5	7,3	193	437	549	221	132
DRN132S2	IE3	2936	90,1	14,1	9,6	239,47	437	549	221	132

Abrégré	Unité	Libellé
n_n	tr / min	Vitesse en tours / minute
η 100 %	%	Rendement en pourcentage
I_n	A	Courant nominal en ampères
I_s/I_n		Rapport du courant de démarrage
Inertie	$10 \text{--} 4 \text{ kg}^2$	Moment d'inertie du rotor
LB	mm	Longueur de la surface d'appui du flasque jusqu'à l'extrémité du capot de ventilateur (moteur)
LBS	mm	Longueur de la surface d'appui du flasque jusqu'à l'extrémité du capot de ventilateur (moteur frein)
AC	mm	Cote extérieure du capot de ventilateur
H	mm	Distance entre mi-bout d'arbre et surface d'appui des pattes (hauteur d'axe)



CARACTÉRISTIQUES PRINCIPALES ET COTES COMPARATIVES

4 PÔLES

Codification	Efficacité	n _n	η 100 %	I _n	I _a /I _n	Inertie	LB	LBS	AC	H
DRS132M4	IE1	1445	87,1	14,4	6,6	253	437	549	221	132
DV132M4	EFF1	1430	87,5	15,5	6,2	280	402	514	275	132
DRE132MC4	IE2	1470	89	14,8	8,2	342	437	549	221	132
DRN132M4	IE3	1468	90,4	15,2	7,8	378,91	439	576	261	132

6 PÔLES

Codification	Efficacité	n _n	η 100 %	I _n	I _a /I _n	Inertie	LB	LBS	AC	H
DRS160M6	IE1	955	85,9	17,3	5,1	633	460	597	270	160
DV160M6	EFF1	960	85,1	16,7	5	650	462	574	275	160
DRN160M6	IE3	979	89,1	15,8	8,2	1282,6	532	721	314	160

11 kW

4 PÔLES

Codification	Efficacité	n _n	η 100 %	I _n	I _a /I _n	Inertie	LB	LBS	AC	H
DRS160M4	IE1	1460	88	22	6,8	448	460	597	270	160
DV160M4	EFF1	1440	88,5	22,5	6	398	462	574	275	160
DRE160MC4	IE2	1475	90,2	21,5	7,7	593	460	597	270	160
DRN160M4	IE3	1473	91,4	21	7,3	812,35	532	721	314	160

15 kW

4 PÔLES

Codification	Efficacité	n _n	η 100 %	I _n	I _a /I _n	Inertie	LB	LBS	AC	H
DRS160MC4	IE1	1470	89,1	30	6,3	593	460	597	270	160
DV160L4	EFF1	1460	90	29,5	5,5	925	503	659	331	160
DRE180M4	IE2	1470	91	28	7,1	1110	523	712	316	160
DRN160L4	IE3	1474	92,1	28,5	8	1035,03	532	721	314	160

Légende

XXXXXX

Arrêt de la commercialisation au 30 juin 2021 au plus tard

XXXXXX

Utilisable sous réserve de prescriptions de rendement du pays d'utilisation

XXXXXX

Nouvelle génération de moteurs

18,5 kW

4 PÔLES

Codification	Efficacité	n_n	η 100 %	I_n	I_s/I_n	Inertie	LB	LBS	AC	H
DRS180M4	IE1	1465	90	34,5	6,5	1110	523	712	316	180
DV180M4	EFF1	1465	90	37	5,9	1120	575	731	331	180
DRE180L4	IE2	1470	91,7	34	7,1	1300	583	772	316	180
DRN180M4	IE3	1478	92,6	33,5	9,4	1628,65	557	748	357	180

22 kW

4 PÔLES

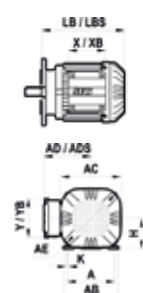
Codification	Efficacité	n_n	η 100 %	I_n	I_s/I_n	Inertie	LB	LBS	AC	H
DRS180L4	IE1	1465	90,5	41,5	6,9	1300	583	772	316	180
DV180L4	EFF1	1465	90,5	42,5	6	1290	575	731	331	180
DRE180LC4	IE2	1480	91,8	42	7,1	1680	583	772	316	180
DRN180L4	IE3	1477	93	38,5	9,6	1944,97	557	748	357	180

30 kW

4 PÔLES

Codification	Efficacité	n_n	η 100 %	I_n	I_s/I_n	Inertie	LB	LBS	AC	H
DRS180LC4	IE1	1470	90,9	57	5,6	1 680	583	772	316	180
DV200L4	EFF1	1470	91,5	55	6,5	2 340	616	764	394	200
DRE200L4	IE2	1475	92,4	57	6,3	2 360	649	854	394	200
DRN200L4	IE3	1480	93,6	56	8,2	2 645,9	649	854	394	200

Abrégré	Unité	Libellé
n_n	tr / min	Vitesse en tours/minute
η 100 %	%	Rendement en pourcentage
I_n	A	Courant nominal en ampères
I_s/I_n		Rapport du courant de démarrage
Inertie	$10 \text{--} 4 \text{ kg}^2$	Moment d'inertie du rotor
LB	mm	Longueur de la surface d'appui du flasque jusqu'à l'extrémité du capot de ventilateur (moteur)
LBS	mm	Longueur de la surface d'appui du flasque jusqu'à l'extrémité du capot de ventilateur (moteur frein)
AC	mm	Cote extérieure du capot de ventilateur
H	mm	Distance entre mi-bout d'arbre et surface d'appui des pattes (hauteur d'axe)



CARACTÉRISTIQUES PRINCIPALES ET COTES COMPARATIVES

37 kW

4 PÔLES

Codification	Efficacité	n _n	η 100 %	I _n	I _a /I _n	Inertie	LB	LBS	AC	H
DRS225S4	IE1	1475	91,6	70	7,1	2930	649	854	394	225
DV225S4	EFF1	1470	92,5	67	6,5	3010	690	846	394	225
DRE225S4	IE2	1477	93	70	7	2930	649	854	394	225
DRN225S4	IE3	1482	93,9	64	8,4	4328,9	617	822	434	225

45 kW

4 PÔLES

Codification	Efficacité	n _n	η 100 %	I _n	I _a /I _n	Inertie	LB	LBS	AC	H
DRS225M4	IE1	1480	92,3	84	7,4	3430	699	904	394	225
DV225M4	EFF1	1470	93	83	7,3	3570	690	846	394	225
DRE225M4	IE2	1478	93,3	84	7,3	3430	699	904	394	225
DRN225M4	IE3	1482	94,2	81	8,8	4328,9	617	822	434	225

55 kW

4 PÔLES

Codification	Efficacité	n _n	η 100 %	I _n	I _a /I _n	Inertie	LB	LBS	AC	H
DRS225MC4	IE1	1480	92,4	106	6,8	4330	699	904	394	225
DV250M4	EFF1	1475	93,8	102	6	6300	772	957	510	280
DRE250M4	IE2	1479	93,6	104	6,9	6200	752	992	510	250
DRN250M4	IE3	1482	94,6	104	7,6	7340,68	752	992	495	250

Légende

XXXXXX
XXXXXX
XXXXXX

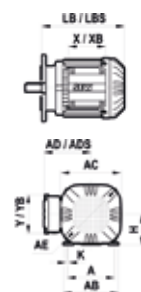
Arrêt de la commercialisation au 30 juin 2021 au plus tard
Utilisable sous réserve de prescriptions de rendement du pays d'utilisation
Nouvelle génération de moteurs

75 kW

4 PÔLES

Codification	Efficacité	n _N	η 100 %	I _N	I _A /I _N	Inertie	LB	LBS	AC	H
DRS280S4	IE1	1480	93,4	140	7,8	8870	752	992	510	280
DV280S4	EFF1	1480	94,4	142	7,2	8925	772	957	510	280
DRE280S4	IE2	1480	94,4	138	7,8	8870	752	992	510	280
DRN280S4	IE3	1482	95	143	7,6	8912,16	752	992	495	280

Abrégré	Unité	Libellé
n _N	tr / min	Vitesse en tours/minute
η 100 %	%	Rendement en pourcentage
I _N	A	Courant nominal en ampères
I _A /I _N		Rapport du courant de démarrage
Inertie	10-4 kgm ²	Moment d'inertie du rotor
LB	mm	Longueur de la surface d'appui du flasque jusqu'à l'extrémité du capot de ventilateur (moteur)
LBS	mm	Longueur de la surface d'appui du flasque jusqu'à l'extrémité du capot de ventilateur (moteur frein)
AC	mm	Cote extérieure du capot de ventilateur
H	mm	Distance entre mi-bout d'arbre et surface d'appui des pattes (hauteur d'axe)



SEW USOCOME fabrique, en France, des systèmes d'entraînement et d'automatisation à destination de tous les secteurs industriels. Innovant sans cesse, l'entreprise propose des solutions complètes intégrant motorisation, pilotage électronique et automatismes.

Conjuguant processus innovants et nouvelles technologies, **SEW USOCOME** est une référence incontournable dans le domaine de l'industrie du futur.

Siège et usine de fabrication
Drive Technology Center

SEW USOCOME
48-54 route de Soufflenheim, B.P. 20185
F-67506 Haguenau Cedex
Tél. : 03 88 73 67 00
Fax : 03 88 73 66 00
sew@usocome.com

SEW
USOCOME



Drive Technology Center

SEW USOCOME BORDEAUX
Parc d'activités de Magellan
62 ave. Magellan, B.P. 182
F-33607 Pessac Cedex
Tél. : 05 57 26 39 00
Fax : 05 57 26 39 09

Drive Technology Center

SEW USOCOME LYON
Parc technologique
75 rue Antoine Condorcet
F-38090 Vaulx-Milieu
Tél. : 04 74 99 60 00
Fax : 04 74 99 60 15

Drive Technology Center

SEW USOCOME PARIS
Zone industrielle
2 rue Denis Papin
F-77390 Verneuil l'Étang
Tél. : 01 64 42 40 80
Fax : 01 64 42 40 88

Drive Technology Center

SEW USOCOME NANTES
Parc d'activités de la forêt
4 rue des Fontenelles
F-44140 Le Bignon
Tél. : 02 40 78 42 00
Fax : 02 40 78 42 20

Usine de fabrication

SEW USOCOME BRUMATH
1 rue de Bruxelles
F-67670 Mommenheim
Tél. : 03 88 37 48 00

SEW USOCOME FORBACH
Zone Industrielle Technopôle
Forbach Sud, B.P. 30269
F-57604 Forbach Cedex
Tél. : 03 87 29 38 00